

В. В. Черных

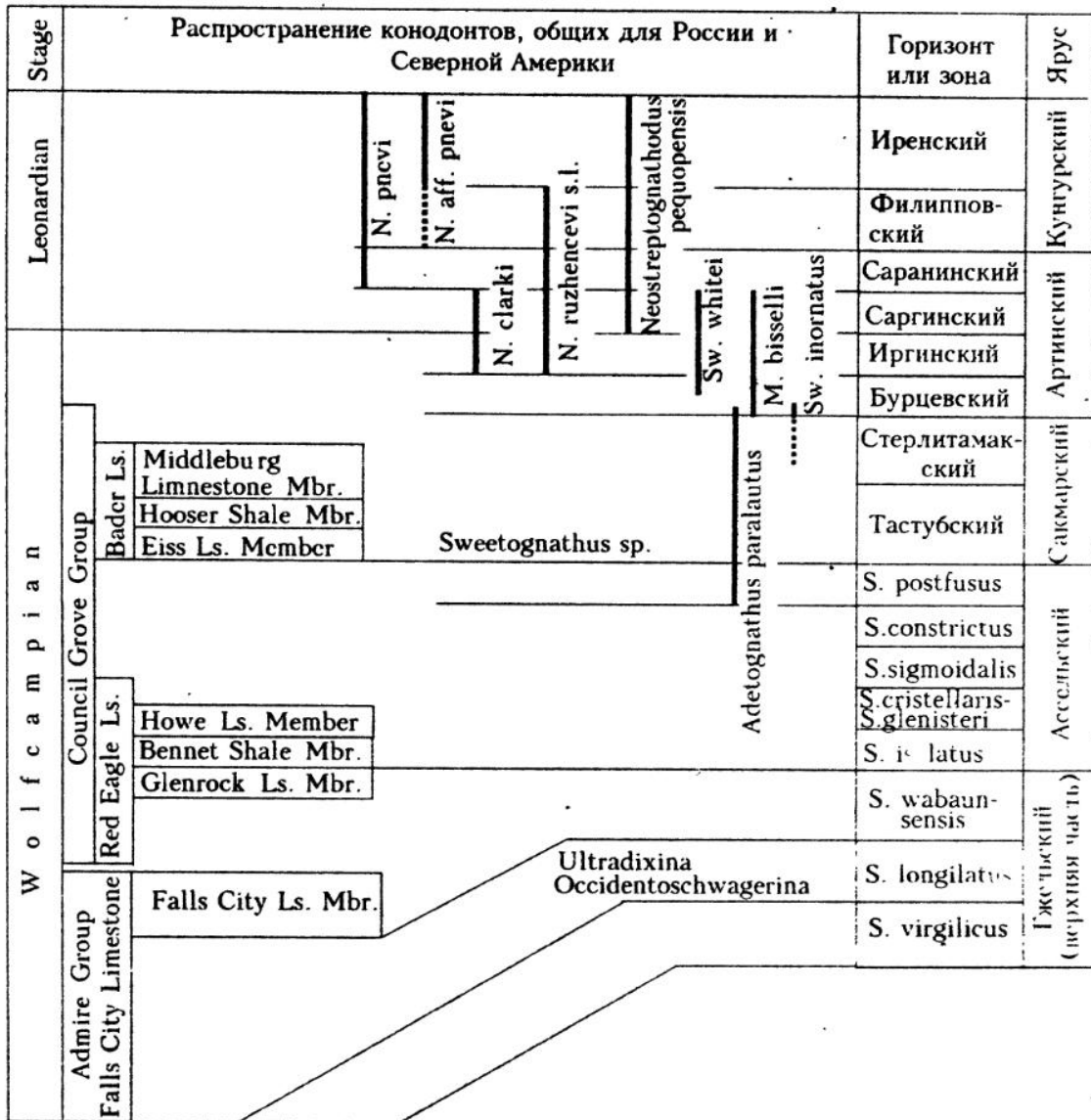
СОВРЕМЕННОЕ ОБОСНОВАНИЕ И КОРРЕЛЯЦИЯ ЯРУСНЫХ ГРАНИЦ НИЖНЕЙ ПЕРМИ ПО КОНОДОНТАМ

Последние пять лет изучение верхнекаменноугольных и нижнепермских конодонтов Урала осуществляется при постоянной поддержке РFFI. Биостратиграфические исследования базировались на изучении аммоидей, фузулинид и конодонтов из наиболее информативных разрезов Южного Урала: Усольского, Никольского, Айдаралашского, Кондуровского, Саранинского, Акталинского и ряда других. По материалам этих исследований опубликован ряд статей [4 -10].

Наряду с изучением конодонтов верхнего карбона и асселя мы провели тщательную ревизию имевшегося и вновь собранного за последние годы материала по сакмарским, артинским и кунгурским конодонтам, что позволило сделать более обоснованные заключения о систематической принадлежности ряда форм и наметить эволюционную последовательность видов в некоторых группах конодонтов.

Все эти данные, приведенные в различных публикациях последних лет в настоящей работе синтезированы в хронологической последовательности конодонтовых зон и в виде линий распространения космополитных характерных и зональных видов (см. таблицу). Ниже кратко рассматривается конодонтовое обоснование границ ярусных подразделений биостратиграфической схемы нижней перми и дается оценка корреляционных возможностей конодонтовой зональной шкалы

Корреляционная основа
для сопоставления стратиграфических подразделений нижней перми
Урала и Сев. Америки



для их прослеживания в уральском регионе и за его пределами.

Существует несколько вариантов нижней границы ассельского яруса, рассматриваемого в качестве базального для пермской системы. Мы обсудим возможности обоснования и корреляции по конодонтам двух наиболее популярных вариантов этой границы, устанавливаемых по результатам изучения фузулинид. Наиболее низкое положение границы асселя отмечается по появлению окцидентошвагерин, ультрадаиксин и некоторых других швагерин - основание фузулиниевой зоны *Ultradaixina bosbytauensis - Likella robusta*. Этот уровень зафиксирован в основании слоя 10 в разрезе "Айдаралаш", предложенном в качестве стратотипа для границы между каменноугольной и пермской системами. В этом слое встречены многочисленные стрептогнатодиды, из которых коротко живущий *Streptognathodus longilatus* появляется здесь впервые, а ряд других видов, таких, как *S. tenuialveus*, *S. bellus*, *S. costaeflabbellus*, известных и в предыдущем слое, продолжают существовать вместе с *S. longilatus*. Подобный же комплекс конодонтов, отличающийся лишь отсутствием типичных *S. costaeflabbellus*, встречен в слое 15 разреза "Усолка". Аналогичный айдаралашскому комплекс конодонтов найден в самых верхах слоя 36 разреза "Никольский" и непрерывно прослеживается до слоя 40 включительно, в котором отмечено первое появление окцидентошвагери и ультрадаиксин [5]. В настоящее время не ясно, действительно ли в этом разрезе отмечается более

раннее появление комплекса *S. longilatus*, или в слое 36 не были найдены реально присутствующие в нем представители этих родов швагеринид. Существенно, что между слоями 36 и 40 фузулиниды отсутствуют, что делает более реалистичным последнее предположение.

Корреляционные возможности данного комплекса конодонтов в отношении обсуждаемой границы не вызывают сомнений для уральского региона, но пока не ясны для ее прослеживания в более удаленных регионах.

Стратиграфически более высокий вариант границы между каменоугольной и пермской системами в основании фузулиниевой зоны *Sphaeroschwagerina vulgaris* - *Sph. fusiformis* принят в качестве международного стандарта. Среди позднегжельской и раннеассельской фауны конодонтов преобладают нодулярные стрептогнатиды, относящиеся к эволюционной линии *S. wabaunsensis* - *S. isolatus* - *S. cristellaris*. Для корреляции нижней границы фузулиниевой зоны *Sph. vulgaris* - *Sph. fusiformis* В. Черных и С. Риттером было предложено [4] использовать уровень появления в этой линии морфотипа с нодулярной структурой, изолированной от карнины неглубоким подковообразным трогом и локализованной в виде боковой лопасти. Здесь в понятие морфотипа входит не один, а группа видов конодонтов, объединяемых типом строения нодулярной структуры. Так, к морфотипу "*wabaunsensis*" должны быть отнесены все нодулярные стрептогнатиды с "неизолированным" (non-isolated nodular) типом строения нодулярной структуры. Среди таких видов можно назвать *S. wabaunsensis*, *S. flangulatus*, *S. farmeri* - примитивных нодулярных стрептогнатид, описанных Ганнеллем из American limnestone. Более поздние исследователи объединили эти виды с эволюционно продвинутым морфотипом *isolatus*, характеризующимся значительно более развитым нодулярным аппаратом, изолированным от каринальных структур. К этому морфотипу, кроме номинативного вида *S. isolatus* следует отнести ранее нами описанный *S. invaginatus* и *S. nodulinearis*.

Таким образом, для определения стратиграфической границы мы используем уровень первого появления не определенного вида, а определенного морфотипа, что позволяет для целей стратиграфии ограничиться знанием морфотипов. Ранее этот метод был назван "методом отдельного признака". Он позволяет проследить обсуждаемую границу не только в ряде разрезов на Урале (Айдаралаш, Усолка, Никольский и др.), но и найти ее аналоги в разрезах пограничных отложений карбона и перми на Мидконтиненте (Сев. Америка), Китае.

В 1995 году Х. Коцур [8] предложил границу между карбоном и пермью проводить в основании конодонтовой зоны, которую он обозначил как *Streptognathodus barskovi* - *S. invaginatus*. Мне хотелось бы прокомментировать предложенную им зону и ее корреляционные возможности. Во-первых, указанные два вида-индекса никогда вместе не встречаются: первый из них появляется не ранее средней зоны, второй - присутствует только в нижней зоне ассельского яруса. Во-вторых, судя по изображению ([8], табл. 1, фиг. 4), форма из Канзаса (Neva limnestone, Grenola Fm.), которую Коцур относит к *S. barskovi*, в действительности принадлежит виду *S. longilatus*. Выше мы отмечали, что первое появление этого вида соответствует основанию фузулиниевой зоны *Ultradaixina bosbytauensis* - *Likella robusta*. Различия между *S. longilatus* и *S. barskovi* подробно описаны нами в [7], где также указаны и различия в стратиграфическом положении этих видов. Что касается второго вида-индекса - *S. invaginatus*, то он, как указывалось выше, относится к *isolatus* - морфотипу, и уровень его первого появления позволяет маркировать и коррелировать основание фузулиниевой зоны *Sphaeroschwagerina vulgaris* - *Sph. fusiformis*.

Нижняя граница сакмарского яруса идентифицирована по конодонтам в нескольких разрезах: Усольском, Симском, Кондуровском. Во всех разрезах конодонтовые комплексы почти полностью представлены формами рода *Mesogondolella*. В тастубском горизонте в подчиненном количестве к ним присоединяются *Adetognathus paralautus*, в стерлитамакском - свитогнатиды *Sweetognathus primus*, *Sw. merrilli* и *M. bisselli*. На Урале пока нигде в сакмарском комплексе не был встречен *Sw. inornatus*, однако этот вид хорошо известен из пограничных сакмарско-артинских отложений и не исключено, что он может присутствовать в Стерлитамаке, но весьма мало вероятно, чтобы *S. inornatus* был обнаружен в тастубе. В большинстве же случаев на Урале разрезы сакмарского яруса представлены флишевыми образованиями, в которых преобладает глубоководная мезогондолловая фауна с весьма редкой примесью мелководных свитогнатид, диплогнатид и адетогнатид. Стратотипический Кондуровский разрез не является исключением, и нижнюю границу сакмарского яруса здесь приходится проводить по появлению своеобразного морфотипа *Mesogondolella* с удлиненной платформой, листообразным строением передней половины каринального гребня и относительно неширокой базальной полостью: формы *M. uralensis* и *M. longifoliosa*. В тастубское время им аккомпанирует ранее появившийся морфотип *pseudostriata*, включающий, кроме номинативной формы, также известные в асселе *M. obliquimarginata* и новые

пока не описанные *M. lacerta* и *M. paralacerta*, известные только из тарабских отложений Симского и Кондуринского разрезов. Единственный свитогнатус плохой сохранности, встреченный в пограничных асельско-сакмарских отложениях в Кондуринском разрезе, - *Sw. merrilli*.

В заключение отметим, что граница между асельским и сакмарским ярусами, несмотря на слабую конодонтовую представительность, является характерным рубежом в развитии нижнепермской фауны конодонтов. Именно здесь полностью исчезает богатейшая ассоциация асельских стрептогнатодид. Несмотря на то, что это утверждение противоречит часто появляющимся в литературе указаниям на находки в послеасельских отложениях видов рода *Streptognathodus* (*S. elongatus*, *S. simplex*), во всех таких случаях существует большая вероятность переотложения этих форм и более древний их возраст по сравнению с вмещающими породами.

Корреляционные возможности приведенного выше комплекса сакмарских конодонтов достаточны для того, чтобы проследить нижнюю границу сакмарского яруса в пределах уральского региона; более удаленная корреляция границы (в частности, с Северной Америкой и Китаем) по указанным конодонтам может быть сделана менее уверенно по появлению *Sw. merrilli*, *M. bisselli* и *Adetognathus paralautus*.

Нижняя граница артинского яруса по конодонтам изучена в разрезе "Дальний Тюлькас" в окрестностях пос. Красноусольский, где базальный - бурцевский - горизонт этого яруса хорошо охарактеризован фузулинидами и конодонтами [3].

Наиболее характерными элементами самой ранней артинской ассоциации конодонтов, установленной в нижней части бурцевского яруса, являются следующие формы: *Sweetognathus inornatus*, *Mesogondolella bisselli*, *Neostreptognathodus obliquidentatus*, *N. ex gr. transitans*. Несколько позднее, но также в бурцевском горизонте появляется *Sw. withei*, и еще выше - формы, весьма близкие *N. ruzhencevi*. Из всех названных форм наиболее четкими маркерами нижней границы артинского яруса являются *Sw. inornatus*, *N. obliquidentatus*. По уровню появления космополитного вида *Sw. inornatus* эта граница может быть прослежена практически во всех регионах мира, где обнажаются морские эквиваленты артинского яруса.

Для обоснования нижней границы кунгура в настоящее время к известным данным [1] о конодонтах кунгура можно добавить следующее. Наиболее важная для определения нижней границы кунгурского яруса на Урале форма *Neostreptognathodus pnevi* Kozur et M. vschovitsch, по-видимому, является сборной. Редукция каринальных зубцов, отмеченная авторами как диагностический признак этого вида, в конце артинского века затронула представителей *N. ruzhencevi*, в результате чего в пограничных отложениях между артинским и кунгурскими ярусами (например, в шуртанской свите) и в нижнем кунгуре на Урале встречаются неострептогнатиды, характеризующиеся широкой в средней части платформой, поперечными удлиненными зубцами и отличающиеся от *N. ruzhencevi* только редукцией передних зубцов на одном или обоих утолщенных парапетах.

В кунгурском веке аналогичный процесс сглаживания зазубренности передних частей парапетов наблюдается у *N. requopensis*. В отличие от потомков *N. ruzhencevi*, эти формы имеют сохранившиеся зубцы в виде бугорков (а не ребер), более узкую платформу и утонченные парапеты. Такие формы известны из верхнего кунгура Урала и, по-видимому, нижнего кунгура Тимана. Наряду с ними постоянно присутствуют высоко развитые *N. requopensis* и часто *Stepanovites festivus* (Bender et Stoppel).

Именно такие формы *N. ex gr. pnevi* следует выделить в самостоятельный вид и использовать для обоснования нижней границы кунгура.

Более детальная современная зонация ранней перми показана на таблице.

Работа выполнена при поддержке РФФИ, грант № 97-05-63375.

Список литературы

1. Мовшович Е.В., Коцур Х., Павлов А.М. и др. Комплексы конодонтов нижней перми Приуралья и проблемы корреляции нижнепермских отложений // Конодонты Урала и их стратиграфическое значение/ Свердловск, 1979. С.94 - 131.
2. Черных В.В., Чувашов Б.И. Биостратиграфическое расчленение артинского яруса по фузулинидам и конодонтам // Ежегодник - 1996/ Институт геологии и геохимии УрО РАН. Екатеринбург, 1997. С. 15 - 22.
3. Чувашов Б.И., Дюпина Г.В., Мизенс Г.А., Черных В.В. Опорные разрезы верхнего карбона и нижней перми Западного склона Урала и Приуралья. Свердловск: УрО АН СССР. 1990. 411 с

4. Chernykh V.V., Ritter S.M. Preliminary biostratigraphic assesment of conodonts from the proposed Carboniferous-Permian boundary stratotype, Aidaralash Creek, Northern Kazakhstan // *Permophiles*. 1994. N. 25. P. 4-7.
5. Chernykh V.V., Ritter S.M. Conodont biostratigraphy of the Nikolsky section (southern Urals): a progress report // *Permophiles*. 1996. N. 29. P. 37-40.
6. Chernykh V.V., Ritter S.M., Wardlaw B.R. *Streptognathodus isolatus* n.sp. (Conodonta): Proposed index for the Carboniferous - Permian boundary/ *J. Paleont.* 1997. V. 71, N. 1. P. 162 - 164.
7. Chernykh V.V., Ritter S.M. Streptognathodus (conodonta) succession at the proposed Carboniferous-Permian boundary stratotype section, Aidaralash Creek, Northern Kazakhstan // *J. Paleont.* 1997. V. 71, N. 3. P. 459 - 474.
8. Kozur H. Permian conodont zonation and its importance for the Permian stratigraphic standard scale // *Geol. Palaeont. Mitt.* Innsbruck. 1995. Bd. 20. P. 165 - 205.
9. Orchard M., Forster P. Permian conodont biostratigraphy of the Harper Ranch Beds, near Kamloops, South-central British Columbia // *Geol. Surv. Canada*. 1988. Paper 88-8. P. 1 - 27.
10. Ritter S.M. Upper Missourian - Lower Wolfcampian (Kasimovian - Asselian) conodont biostratigraphy of the Midcontinent, USA // *J. Paleont.* 1995. V. 69, N 6. P. 1139 - 1154.